

一九五六年全国鐵道科学工作会议  
論文報告叢刊  
(27)

## 脉冲选号通信的研究

人民鐵道出版社

## 前　　言

1956年全国鐵道科学工作会议征集了技术报告、总结、論文三百余篇。它的內容，包括鐵路業務的各个方面，基本上显示着全体鐵路技术人員和有关高等学校教师們几年來在科学技术方面辛勤劳动的成果。对現場实际工作有参考价值，对铁路新技术的採用和发展方向，有啓示作用。为此，刊印叢刊，广泛傳流，保存这一阶段內的科技文献，以推动科学的研究的进一步开展。

會議以后，我們对全部文件进行一次整編工作，然后組織部內設計总局、工程总局、工厂管理局、人民鐵道出版社、車務、商务、机务、車輛、工務、电務各局、鐵道科学研究院、北京、唐山鐵道学院、同濟大学、大桥、定型、电務等設計事務所的有关專業同志对每篇內容仔細斟酌，选择其中对目前鐵路業務有广泛交流意义，或是介紹鐵路新技术方向和系統的經驗總結，將性質相近的文件合訂一冊，單獨發行。为了避免浪費，凡是其他刊物或是以其他方式刊印过的文件，除特殊必要外，一般都不再刊載。出版順序根据編輯和定稿的先后，排定叢刊号碼，交付印刷，並無主次之分。

苏联鐵道科学代表团在會議期間曾經做过九次学术报告，我們已將文字整理，編入了叢刊。

文件中的論点，只代表作者意見，引用或採用时，还应由採用人根据具体情况选择判断。

叢刊方式还是一种嘗試，我們缺少經驗，希望讀者提供意見，逐步的改进。

鐵道部技术局

1957年2月

## 目　　录

防止調度電話选叫障碍.....	孙涵光 (2)
脉冲記錄式各站自動電話研究報告提要.....	姚上达 (70)

# 防止調度電話選叫障礙

孙 澜 光

I. 前 言	2
II. 選叫障礙發生的原因	2
III. 選叫脈沖	4
IV. 選叫脈沖的穩定	15
V. 選別器反作用力矩	24
VI. 選叫脈沖與反作用力矩的配合	32
VII. 實驗確定的反作用力矩	39
VIII. 脈沖週期的測量	46
IX. 線路分佈參數的影響	52
X. 齊局調度電話選叫系統的若干問題和改進辦法(代結語)	65

## I. 前 言

鐵路列車調度電話是鐵路運輸上重要通信設備之一。但由於它的選叫系統，構造較複雜，使用頻繁，維修不當，以致不斷發生選叫障礙。

以齊齊哈爾管理局（以下簡稱齊局）為例，1954年選叫障礙為93件，1955年超過了100件，竟佔通信障礙的 $\frac{1}{5}$ 左右。

本篇系研究分析西電式調度電話，選叫障礙發生的原因、選叫系統工作的穩定範圍、障礙的臨界範圍和選叫脈沖與選別器力矩的配合。

本篇對於考查選叫系統的工作疲勞週期，未得出結果。因此，就不能確定選叫系統的檢修週期。我們深切地希望能在这方面，以及本文中的錯誤地方，得到啟發和指正。

## II. 選叫障礙發生的原因

根據齊局障礙統計資料，以選別器動作不正確的障礙（即收到17個脈沖，而不能推進17步）最多。其次是選別器鉻接點，由於發生火花而被氧化，以致接觸不良的障礙較多。如1954年，動作不正確的障礙為59件，佔全部障礙的63%，鉻接點被氧化的障礙12件，佔13%。

從上述障礙情況分析，選別器動作不正確可綜合為以下幾項：

（一）選別器機械部分磨耗。動作部分的各元件之間的距離調整不當；

(二) 选別器彈簧、游絲等的拉力过大或过小，以及永久磁鐵的磁性減弱。更具体地又可分为：

- (1) 大拉簧拉力調整不当；
- (2) 补助掣与推进掣彈簧拉力調整不当；
- (3) 游絲的反作用力調整不当；
- (4) 支持鉤彈片的压力調整不当；
- (5) 鈴接点片压力調整不当；
- (6) 永久磁鐵的磁性的減弱，以及接極子与磁極的間隔調整不当；
- (7) 殘磁的影响；

(三) 由於油垢的影响，增大了选別器工作时的阻力（特别是在冬季）也是引起障碍的原因。

另外，还可以推想到：选別器是由总机所發出的选叫脈冲推动的。而选叫脈冲本身也含有不稳定的因素，如电鍵的快慢，供电电压的高低，轉極繼电器接点的跳动，綫路的情况等等。因此，在發生障碍的原因中，又須列入以下几个影响选叫脈冲的不稳定的因素：

- (1) 供电电压的变化；
- (2) 电鍵速度，和  $K_1$ 、 $K_2$  接点的接断是否均匀；
- (3) 选別器的电感和串联电容器电容的数值；
- (4) 線路情况以及所接分机的数目；
- (5) 轉極繼电器接点的跳动和移动时间。

如上所述，造成选叫障碍的原因是由于选叫系統工作的不稳定。

这些不稳定因素，如定出标准，並且定期調整，使之經常保持在所規定的范围内，就可以保証选叫工作正常地进行。

要將不稳定因素，定出标准和范围，就必須研究选別器的障碍临界点。將标准和范围，規定在远离临界点的地方，才能防止选叫障碍。

选叫脈冲必須与选別器的工作范围相配合。

本文对以上三点，作了討論，並且力求和鐵道部电务局所綜合的『調度電話綜合維修經驗』相结合。

我們研究的步驟大体上是：

- (1) 統計齐局調度電話障碍，並加以分类；
- (2) 以王仁章、刘恩普的經驗分析障碍原因；
- (3) 根据障碍發生的原因，研究选叫系統的稳定，选叫脈冲与选別器力矩的配合，障碍的临界范围；

(4) 进行实际試驗，校正理論所得的数据；

(5) 以實驗的結果，在齐齐哈尔——泰来調度綫試行，以便在实际使用中，考驗是否能确切防止障碍。並考查选叫系統的工作疲劳週期，以便确定檢修週期。試行情況良好，自3月10日～7月30日的試行期間中，消除了选叫障碍，至此，我們的工作結束。

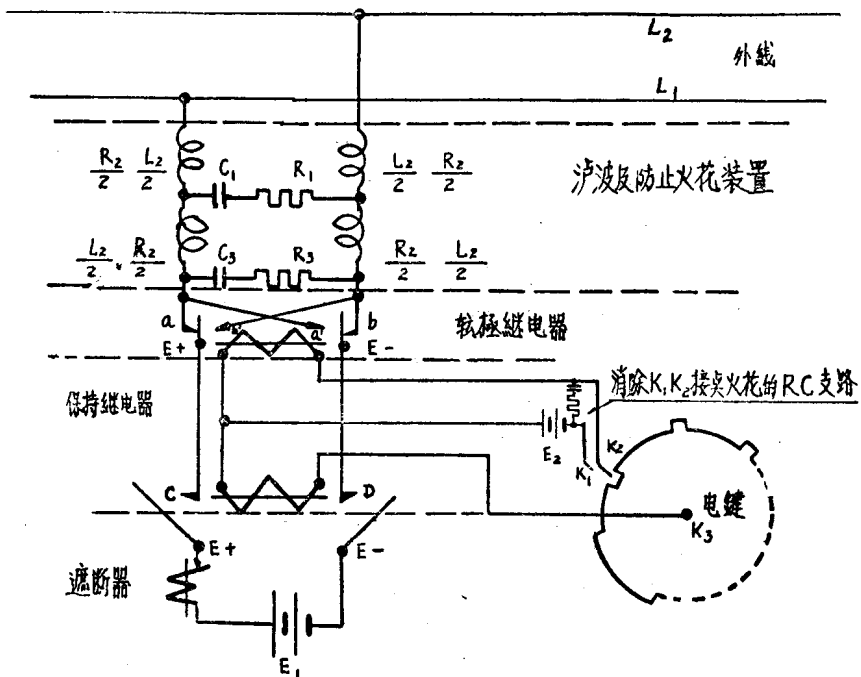
此外，本篇还討論了測量选叫脈冲和选別器反作用力矩的方法。

以下各节，介紹对各項不稳定因素的研究結果，但其中关于选別器各元件間的間距調整，我們都按鐵道部綜合的『調度電話綜合維修經驗』中的規定。

### III. 选叫脈冲

(一) 脈冲的产生 脉冲的产生，分三阶段（参看第一圖）：

- (1) 轉動電鍵， $K_1$ 、 $K_2$ 、 $K_3$  接點分別閉合或斷開；
- (2) 當  $K_1$ 、 $K_2$ 、 $K_3$  閉合或斷開時，保持繼電器與轉極繼電器分別動作；
- (3) 保持繼電器和轉極繼電器的接點閉合時，選叫脈冲，經濾波裝置送往外線。

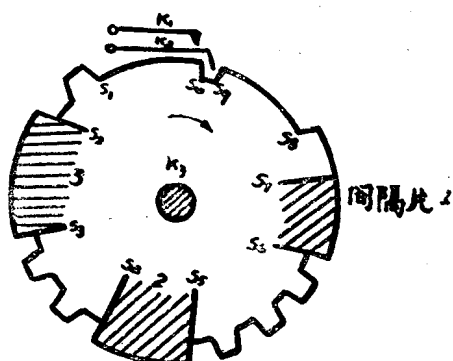


第一圖 脈冲發生裝置

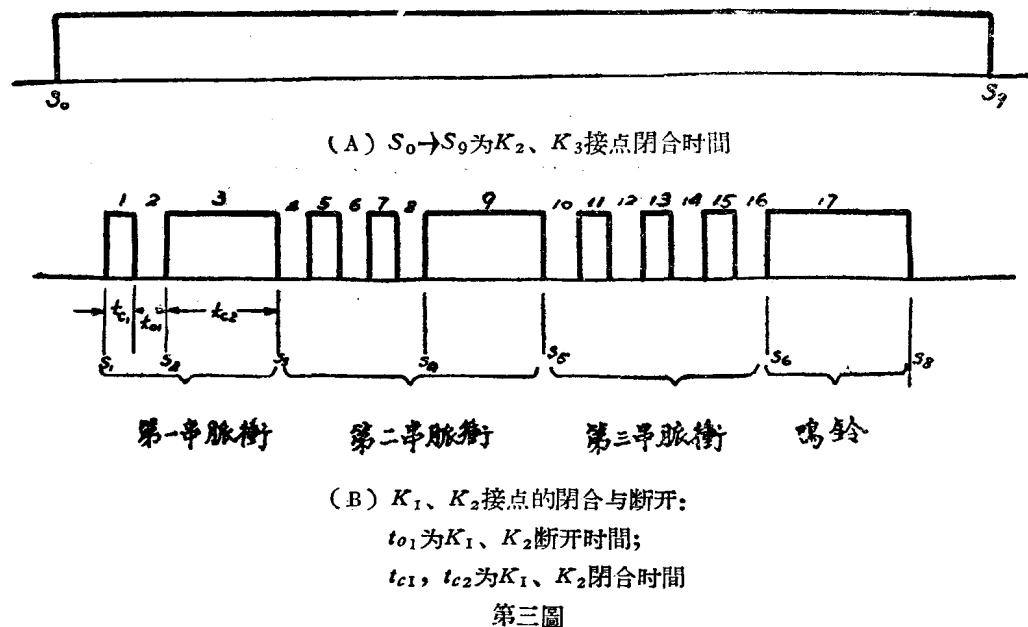
每做一次選叫，電鍵轉動一週，由於電鍵符號輪的配號不同，所發出的脈冲組合也不同。

電鍵符號輪的配號，和  $K_1$ 、 $K_2$ 、 $K_3$  接點的閉合及斷開，參看第一圖、第二圖及第三圖。

由第二圖，並參看第四圖，當  $K_2$ 、 $K_3$  在  $S_0$  點開始接觸後，保持繼電器動作，於是  $C$ 、 $D$  接點閉合，向外線送出充電脈冲。使選別器串聯的電

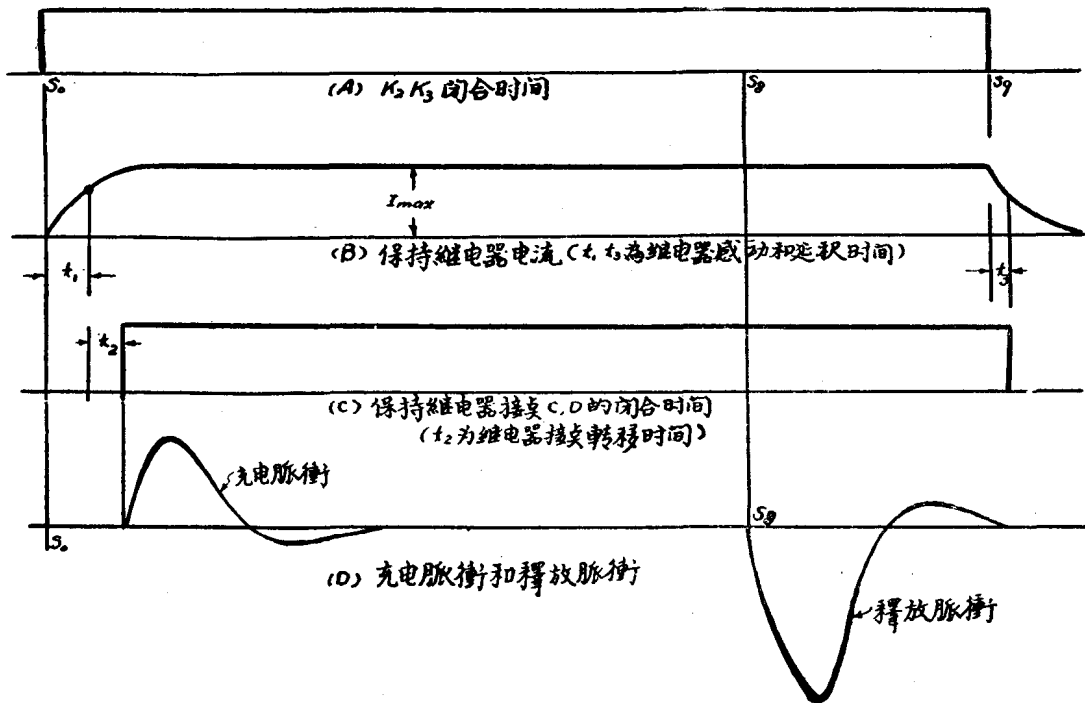


第二圖 電鍵符號輪



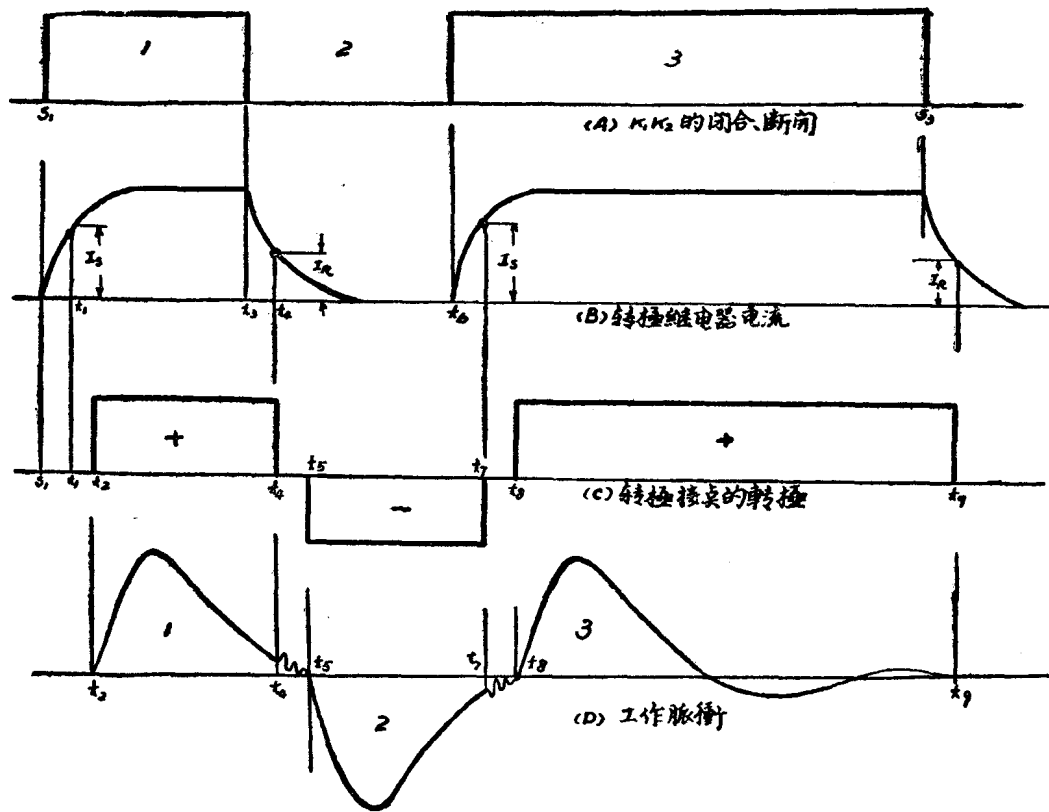
容器充电，以增大工作脉冲的幅度。

自  $S_8$  开始， $K_1, K_2$  接点断开，而  $K_2, K_3$  仍然闭合。此时由于轉極繼电器接点轉極，又向外線送出釋放脈冲，使选別器复原。



第四圖 充电脈衝与釋放脈衝

又自第三圖 (B)， $K_1$ 、 $K_2$  接点閉合或断开时，其送出三串分別为3—6—8的工作脈冲（合計17个脈冲）。虽然每串脈冲数目不同，但由于脈冲形狀相似，故只須分析其中第一串脈冲。參看第一圖，当 $K_1$ 、 $K_2$ 接触，轉極繼电器动作，接点 $E_+$ 接 $L_2$ ， $E_-$ 接 $L_1$ 。当 $K_1$ 、 $K_2$ 断开，轉極繼电器釋放， $E_+$ 接 $L_1$ ， $E_-$ 接 $L_2$ 。如此轉極三次，送出三个工作脈冲。然后，經過一定的間隔时间，發出下一串工作脈冲。第一串工作脈冲如五圖所示



第五圖 工作脈冲

第五圖中： $s_1 \rightarrow t_1$ ， $t_6 \rightarrow t_7$  轉極繼電器感動時間；

$t_1 \rightarrow t_2$ ， $t_4 \rightarrow t_5$ ， $t_7 \rightarrow t_8$ ，為轉極繼電器接點的轉移時間；

$t_3 \rightarrow t_4$ ， $s_3 \rightarrow t_9$ ，為轉極繼電器延遲時間；

$I_s$ 是轉極繼電器感動電流， $I_R$ 是釋放電流。

由以上分析看出，脈冲共有三类：

(1) 充电脈冲；

(2) 工作脈冲；又分为：(A)  $K_1$ 、 $K_2$  闭合时送出的脈冲[圖五的脈冲 (1)]；

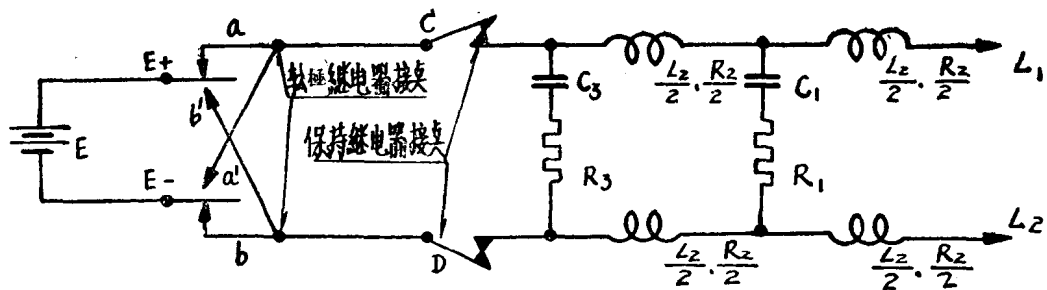
(B)  $K_1$ 、 $K_2$  断开时，送出的脈冲[圖五中的脈冲 (2)]；

(C) 一串脈冲的最后一个工作脈冲，系由电鍵符号輪的間隔片，保持二串脈冲有一定的間隔。由于間隔的時間較長，因此，与其他工作脈冲不同[圖五中的脈冲 (3)]。

(3) 釋放脈冲。

下面將分別討論以上不同类型的脈冲。

(二) 充电脈冲 当發出充电脈冲时，第一圖的电路，可簡化成第六圖。



第六圖

自动遮断器的电感，电阻很小，可略去不计，其他数据如下：  
(西电式)

$$C_1 = 6 \text{ (微法)}; \quad R_1 = 200 \text{ (欧);}$$

$$C_3 = 1 \text{ (微法)}; \quad R_3 = 60 \text{ (欧);}$$

$$\frac{R_2}{2} = 20 \text{ (欧);} \quad \frac{L_2}{2} = 2.7 \text{ (亨).}$$

调度分机的选别器（西电式）与1.25微法的电容器串联跨接于外线 $L_1$ 和 $L_2$ 两端。选别器的电阻、电感值如下：

$R_s = 21000$  (欧) (因选叫脉冲频率很低，故不考虑集肤效应，直接利用直流电阻的数值)；

$L_s \approx 500$  亨士  $\pm 10\%$  (系在 3.5 ~ 时实测数值)。

为了分析的简便，略去线路分布参数的影响，通过每台调度分机的电流可视作相等， $n$ 台分机的阻抗，可用等效的电阻 $R$ ，电感 $L$ ，电容 $C$ 的串联阻抗来表示，即：

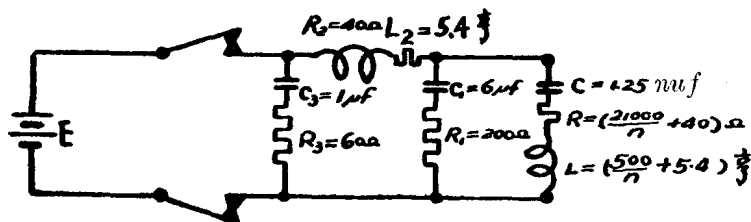
$$R = \frac{R_s}{n};$$

$$L = \frac{L_s}{n};$$

$$C = nC_s;$$

式中 $R_s$ ， $L_s$ 和 $C_s$ 为每台分机的选别器的数值， $n$ 为分机数。

于是，发出充电脉冲的电路可用第七图表示。



第七圖

如果供电电源的内阻很小，可以略去不计。则第七图中的 $R_3 C_3$ 支路，对送往分机的电流无关。因此，第七图可简化成第八图。

在第八图中，对所示的两个独立回路，应用克希荷夫第二定律，写出下列方程式：

$$R_2 i_1 + L_2 \frac{di_1}{dt} + R_1 (i_1 - i_2) + \frac{1}{c_1} \int (i_1 - i_2) dt = E \dots \dots \dots (1)$$

$$(R + R_1) i_2 + L \frac{di_2}{dt} + \frac{1}{c} \int i_2 dt - R_1 i_1 + \frac{1}{c_1} \int (i_2 - i_1) dt = 0 \dots \dots \dots (2)$$

整理(1)和(2)，并写成运算式：

$$\left[ L_2 P + (R_1 + R_2) + \frac{1}{c_1 P} \right] I_1(P) - \left( R_1 + \frac{1}{c_1 P} \right) I_2(P) = E;$$

$$\text{和 } \left( R_1 + \frac{1}{c_1 P} \right) I_1(P) - \left[ L P + (R_1 + R) + \left( \frac{1}{c_1} + \frac{1}{c} \right) \frac{1}{P} \right] I_2(P) = 0;$$

$$\text{式中 } I_k(P) = P \int_0^\infty i_k e^{-Pt} dt, \quad k=1, 2.$$

由以上联立运算式，解得：

$$I_1(P) = E \frac{LP^3 + (R_1 + R)P^2 + \left( \frac{1}{c} + \frac{1}{c_1} \right) P}{\Delta} \dots \dots \dots (3)$$

$$I_2(P) = E \frac{R_1 P^2 + \frac{P}{c_1}}{\Delta} \dots \dots \dots (4)$$

$$\text{式中 } \Delta = L_2 L P^4 + [L(R_1 + R_2) + L_2(R + R_1)]P^3 + \left[ \frac{L}{c_1} + (R + R_1)(R_1 + R_2) + \left( \frac{1}{c} + \frac{1}{c_1} \right) L_2 - R_1^2 \right] P^2 + \left[ \frac{R - R_1}{c_1} + \left( \frac{1}{c} + \frac{1}{c_1} \right) (R_1 + R_2) \right] P + \frac{1}{cc_1} \dots (5)$$

可以应用赫维赛德展开式，求电流 $i$ ：

$$i = \dot{E} \left( \frac{\Phi(0)}{Z(0)} + \sum_{k=2}^n \frac{\Phi(P_k)}{P_k Z'(P_k)} e^{P_k t} \right).$$

通常，解代数方程 $\Delta=0$ ，以求出根 $P_k$ ，( $k=1, 2, 3, 4$ )是相当繁复的，我们可设 $\Delta$ 的二对共轭复数根是：

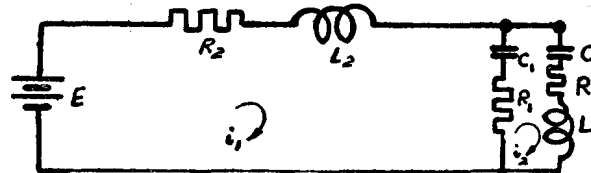
$$\frac{\Delta}{L_2 L} = \left[ P - (-r_1 + j\beta_1) \right] \left[ P - (-r_1 - j\beta_1) \right] \left[ P - (-r_2 + j\beta_2) \right] \left[ P - (-r_2 - j\beta_2) \right].$$

实际上，一般调度回线的分机数不超过40台。因此，分别设分机数 $n$ 为10, 20, 30, 40，并将 $R_1$ ,  $c_1$ ,  $R_2$ ,  $L_2$ 及 $R$ ,  $L$ ,  $c$ 之值代入(3)(4)(5)式，解得：

$$i_1 = (B_1 \sin \beta_1 t + B_2 \cos \beta_1 t) e^{-r_1 t} + (B_3 \sin \beta_2 t + B_4 \cos \beta_2 t) e^{-r_2 t} \dots \dots \dots (6)$$

$$i_2 = (A_1 \sin \beta_1 t + A_2 \cos \beta_1 t) e^{-r_1 t} + (A_3 \sin \beta_2 t + A_4 \cos \beta_2 t) e^{-r_2 t} \dots \dots \dots (7)$$

经计算： $A_1 \gg A_2$ ;  $A_3 \gg A_4$ ;



第八图

$$B_1 \gg B_2;$$

$$B_3 \gg B_4.$$

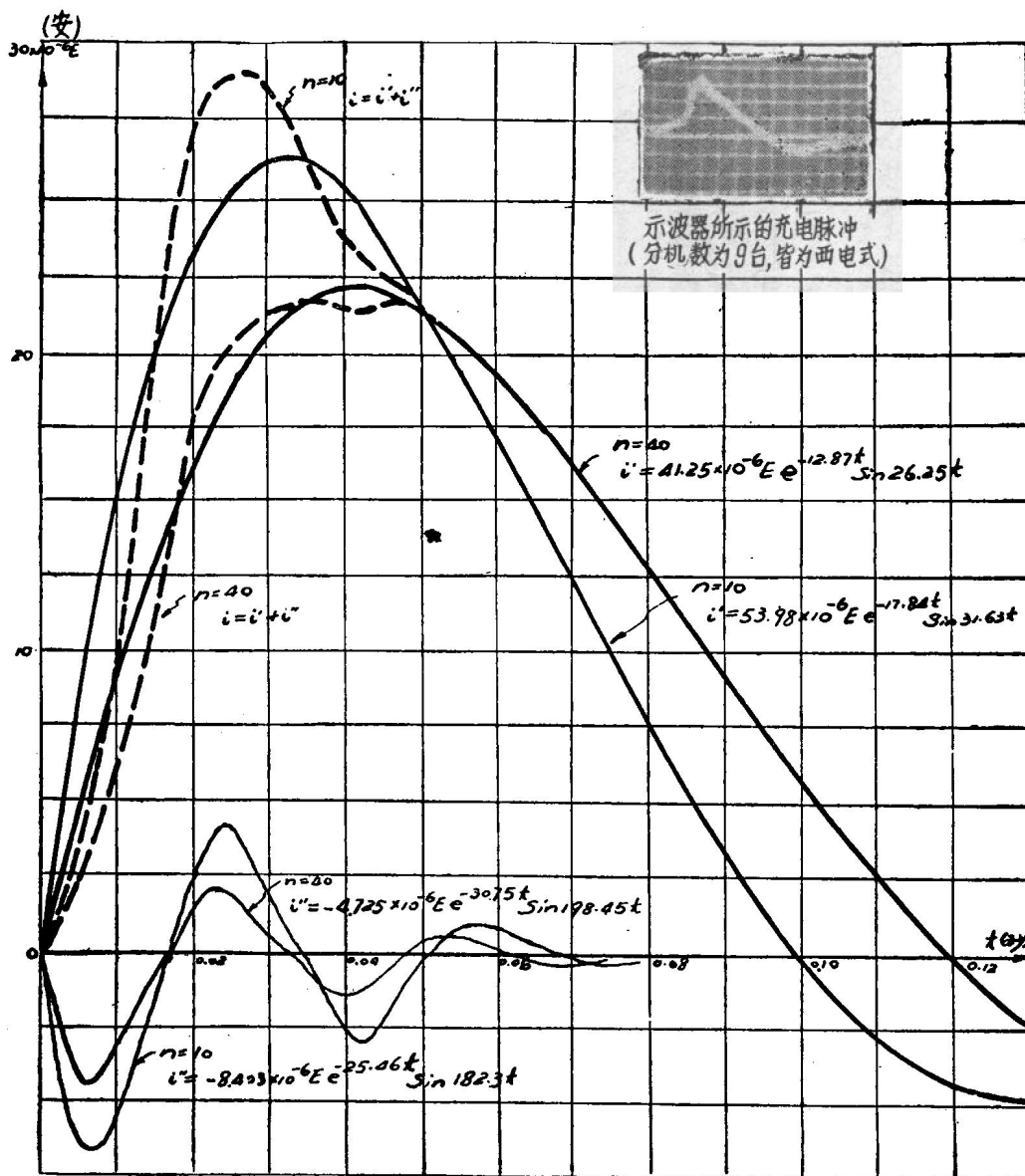
$$\text{因此, } i_1 \approx B_1 e^{-r_1 t} \sin \beta_1 t + B_3 e^{-r_2 t} \sin \beta_2 t \dots \quad (8)$$

$$i_2 \approx A_1 e^{-r_1 t} \sin \beta_1 t + A_3 e^{-r_2 t} \sin \beta_2 t \dots \quad (9)$$

$i_2$  是通过  $n$  个分机的总电流, 於是通过每一分机的电流是:  $i = \frac{i_2}{n}$ .

第九圖表示充电脈冲。自(6), (7)式, 及第九圖可看出, 脈冲含有二个組成部分:

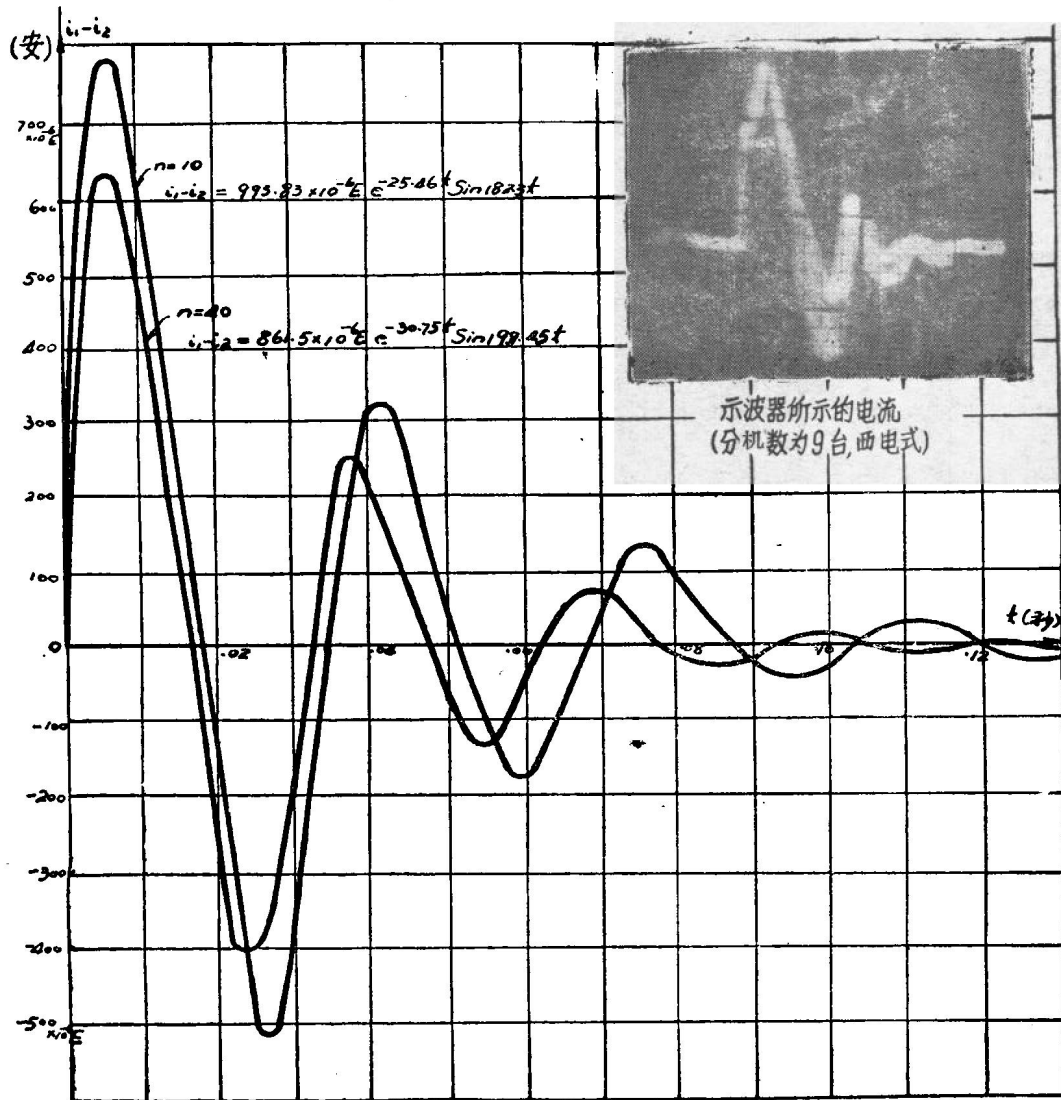
角頻率為  $\beta_1$  的波, 和角頻率為  $\beta_2$  的波。后者比前者大得多, 对选叫不起作用, 相反的, 却造成干扰。角頻率為  $\beta_2$  的电流大部分通过具有濾波作用的  $R_1, C_1$  支路, 因此, 对选叫的影响不大。



第九圖 充电脈冲 (分机10台至40台)

由(6) — (7)得出，經過濾波裝置的  $R_1$ ,  $C_1$  支路的电流为：

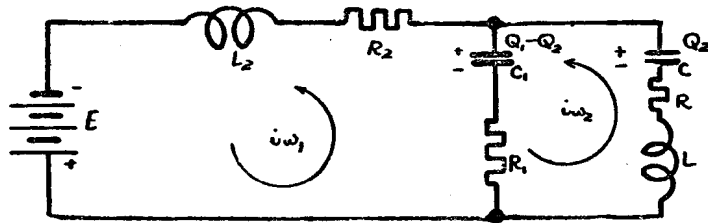
經過  $R_1$ ,  $C_1$  支路的電流  $i_1 - i_2$ ，如第十圖所示。



第十圖 經過濾波裝置  $R_1C_1$  支路的電流

### (三) 工作脈冲和釋放脈冲

充电脉冲以后，经过一个较长的间隔时间，就发出第一个工作脉冲（电键  $K_1 K_2$  接点闭合时，发出的脉冲）。这时，选叫系统的等效电路，如第十一图所示。第十一图与第八图的等效回路相同，不过须注意：由于转极继电器的动作，电源已变极。另外，在电容器  $C_1$  和  $C$  中，已储有电荷（充电脉冲对电容器充电）。



第十一圖

由於自充電脈冲至工作脈冲的間隔時間較長（約一秒），因此，在工作脈冲開始時，充電脈冲的

$$i_1 \approx 0; \quad i_2 \approx 0.$$

在電容器  $C_1$  與  $C$  中所儲的電荷， $Q_2 \approx CE$ ， $Q_1 - Q_2 \approx C_1 E$ 。

於是，自第十一圖中的兩個獨立回路，應用克希荷夫第二定律，寫出方程式：

$$L_2 \frac{di_{\omega_1}}{dt} + R_2 i_{\omega_1} + R_1 (i_{\omega_1} - i_{\omega_2}) = E + \frac{Q_1 - Q_2 - \int (i_{\omega_1} - i_{\omega_2}) dt}{C_1};$$

$$L \frac{di_{\omega_2}}{dt} + R i_{\omega_2} - \frac{Q_2 - \int i_{\omega_2} dt}{C} = R_1 (i_{\omega_1} - i_{\omega_2}) - \frac{Q_1 - Q_2 - \int (i_{\omega_1} - i_{\omega_2}) dt}{C_1}.$$

整理上式，並注意： $Q_2 \approx CE$ ， $Q_1 - Q_2 \approx C_1 E$ ，

寫成：

$$R_2 i_{\omega_1} + L_2 \frac{di_{\omega_1}}{dt} + R_1 (i_{\omega_1} - i_{\omega_2}) + \frac{1}{C_1} \int (i_{\omega_1} - i_{\omega_2}) dt = 2E \dots \dots \dots \quad (11)$$

$$(R + R_1) i_{\omega_2} + L \frac{di_{\omega_2}}{dt} + \frac{1}{C} \int i_{\omega_2} dt - R_1 i_{\omega_1} + \frac{1}{C_1} \int (i_{\omega_2} - i_{\omega_1}) dt = 0 \dots \dots \dots \quad (12)$$

(11) 和 (12) 式，分別與 (1) 和 (2) 式相同，只是電源電壓增大一倍。因此，第一個工作脈冲與充電脈冲相似，只是幅度增加了一倍。

參看 (8) (9) 式，可寫出：

$$i_{\omega_1} \approx 2i_1 = 2B_1 e^{-r_1 t} \sin \beta_1 t + 2B_3 e^{-r_2 t} \sin \beta_2 t \dots \dots \dots \quad (13)$$

$$i_{\omega_2} \approx 2i_2 = 2A_1 e^{-r_1 t} \sin \beta_1 t + 2A_3 e^{-r_2 t} \sin \beta_2 t \dots \dots \dots \quad (14)$$

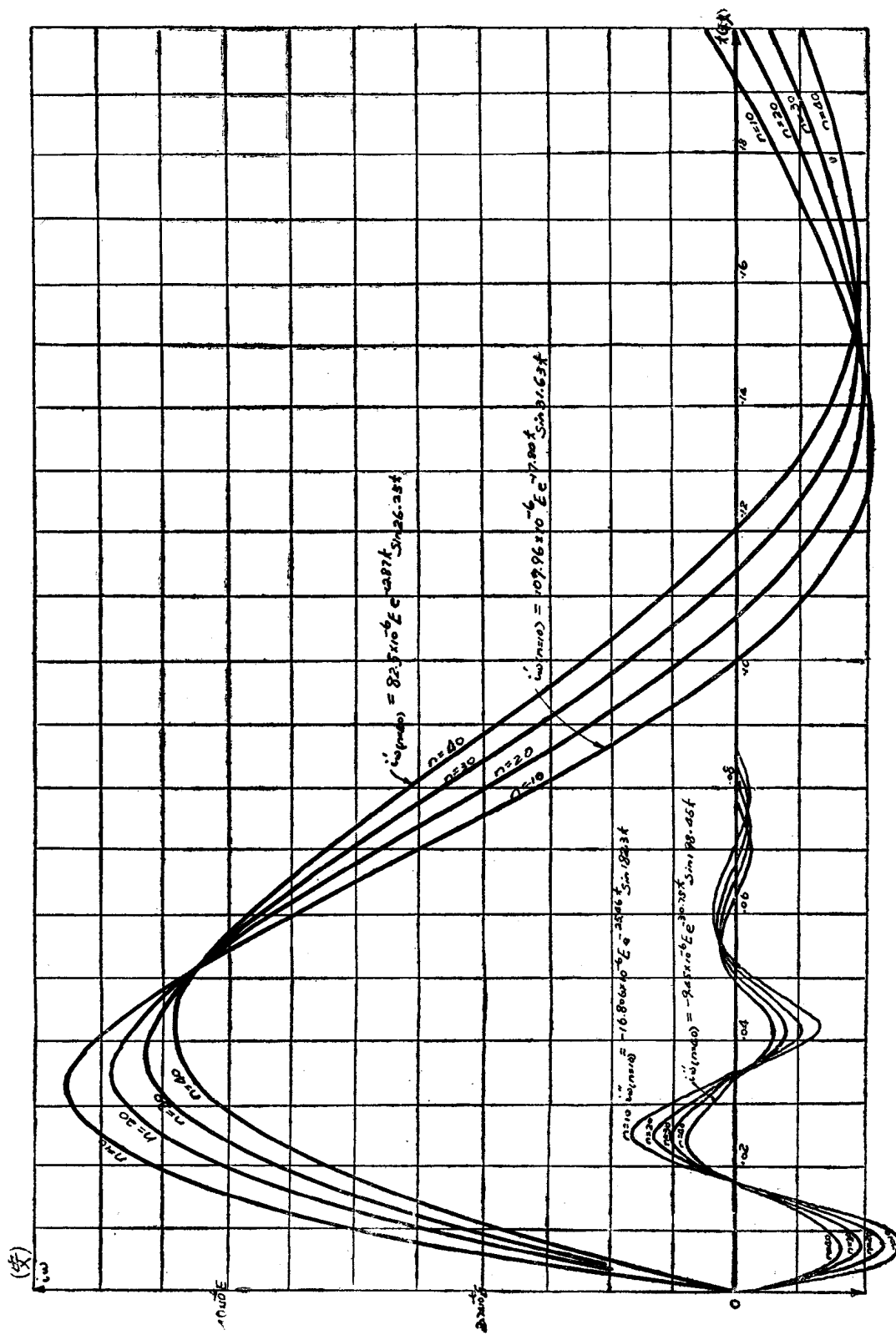
通過每台分機的工作電流  $i_{\omega}$  為

$$i_{\omega} = \frac{i_{\omega_2}}{n} \approx 2 \frac{A_1}{n} e^{-r_1 t} \sin \beta_1 t + 2 \frac{A_3}{n} e^{-r_2 t} \sin \beta_2 t.$$

此外，每串工作脈冲的最後一個脈冲，以及釋放脈冲都與以上所討論的第一個工作脈冲相同。因為，在這些脈冲發生時，電容器都已充電而且近於飽和。

必須注意到，每一串工作脈冲中，除最後一個脈冲外，都受電鍵接點  $K_1$ 、 $K_2$  的接斷時間的影響。以上我們所討論的，只是工作脈冲的第一部分，也是脈冲的主要部分。但是除了這主要部分以外，還必須考慮組成脈冲的第二部分，即：轉極繼電器接點在空間移動時，脈冲的變化。參看第五圖可知，轉極繼電器接點須要一定的轉移時間（如  $t_1 - t_2$ ， $t_4 - t_5$ ， $t_7 - t_8$ ，等）由於：

(1) 轉極繼電器接點，自五圖中的  $t_4$ ，開始離開時，工作脈冲被切斷；



第十二圖 工作脈冲和釋放脈冲

(2) 第一个工作脉冲被切断后，轉極繼電器的銜鐵，須要一定的轉移時間，才能移向另一接點。因此，第二個脈衝，並不能立即發出。在第一個與第二個脈衝之間，形成了脈衝的第二部分。我們現在來討論工作脈衝的第二部分。至於釋放脈衝，與一串工作脈衝的最後脈衝，則沒有所說的第二部分。轉極接點開始離開，切斷了第一個工作脈衝，經過一段移動時間後，又與另一接點接觸，發出第二個工作脈衝。在移動過程中，第七圖的電路，變成第十三圖的等效電路。電容器  $C_1$ 、 $C$ 、 $C_3$  皆已積有電荷  $Q_{\omega 1}$ 、 $Q_{\omega 2}$ 、 $Q_{\omega 3}$ 。

由第十三圖，寫出方程式：

$$L_2 \frac{di_{T1}}{dt} + (R_1 + R_2 + R_3) i_{T1} + \left( \frac{1}{C_1} + \frac{1}{C_3} \right) \int i_{T1} dt - \\ - \left[ R_1 i_{T2} + \frac{1}{C_1} \int i_{T2} dt \right] = K_1 \quad (15)$$

$$L \frac{di_{T2}}{dt} + (R + R_1) i_{T2} + \left( \frac{1}{C} + \frac{1}{C_1} \right) \int i_{T2} dt - \\ - \left[ R_1 i_{T1} + \frac{1}{C_1} \int i_{T1} dt \right] = K_2 \quad (16)$$

式中  $K_1$  和  $K_2$  分別為沿網孔 (1) 和 (2) 的電位升。

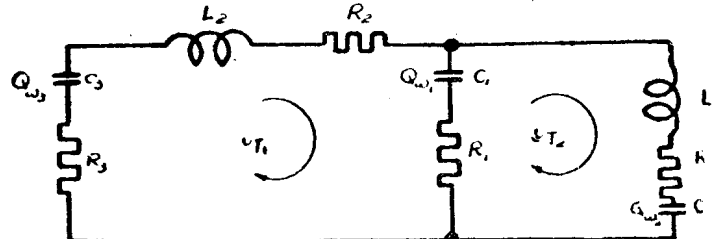
再寫成運算式

$$\left[ L_2 P + (R_1 + R_2 + R_3) + \left( \frac{1}{C_1} + \frac{1}{C_3} \right) \frac{1}{P} \right] I_1(P) - \\ - \left( R_1 + \frac{1}{C_1 P} \right) I_2(P) = K_1; \\ \left[ LP + (R_1 + R) + \left( \frac{1}{C} + \frac{1}{C_1} \right) \frac{1}{P} \right] I_2(P) - \left( R_1 + \frac{1}{C_1 P} \right) I_1(P) = K_2.$$

解得

$$I_2(P) = \frac{\begin{vmatrix} \left[ L_2 P + (R_1 + R_2 + R_3) + \left( \frac{1}{C_1} + \frac{1}{C_3} \right) \frac{1}{P} \right] & K_1 \\ - \left( R_1 + \frac{1}{C_1 P} \right) & K_2 \end{vmatrix}}{\Delta};$$

$$I_1(P) = \frac{\begin{vmatrix} K_1 & - \left( R_1 + \frac{1}{C_1 P} \right) \\ K_2 & \left[ LP + (R_1 + R) + \left( \frac{1}{C} + \frac{1}{C_1} \right) \frac{1}{P} \right] \end{vmatrix}}{\Delta};$$



第十三圖

$$\text{式中 } \Delta = \begin{vmatrix} L_2 P + (R_1 + R_2 + R_3) + \left(\frac{1}{C_1} + \frac{1}{C_3}\right) \frac{1}{P} & -\left(R_1 + \frac{1}{C_1 P}\right) \\ -\left(R_1 + \frac{1}{C_1 P}\right) & L P + (R_1 + R) + \left(\frac{1}{C} + \frac{1}{C_1}\right) \frac{1}{P} \end{vmatrix}.$$

經整理后：

$$\begin{aligned}
P^2 \Delta = & L_2 L P^4 + [L(R_1 + R_2 + R_3) + L_2(R + R_1)] P^3 \\
& + \left[ L \left( \frac{1}{C_1} + \frac{1}{C_3} \right) + (R + R_1)(R_1 + R_2 + R_3) + \right. \\
& \quad \left. + L_2 \left( \frac{1}{C} + \frac{1}{C_1} \right) - R_1^2 \right] P^2 + \\
& + \left[ (R + R_1) \left( \frac{1}{C_1} + \frac{1}{C_3} \right) + \left( \frac{1}{C} + \frac{1}{C_1} \right) (R_1 + R_2 + R_3) - \frac{2R_1}{C_1} \right] P \\
& \quad + \left( \frac{1}{C_1} + \frac{1}{C_3} \right) \left( \frac{1}{C} + \frac{1}{C_1} \right) - \frac{1}{C_1^2} \dots \dots \dots \quad (17)
\end{aligned}$$

我們只取分机数  $n=10$   $n=40$  来討論。

将  $R_3 = 60$  欧,  $C_3 = 1$  微法及  $R_1, C_1, R, L, C$ , 各值代入 (17) 式解得:

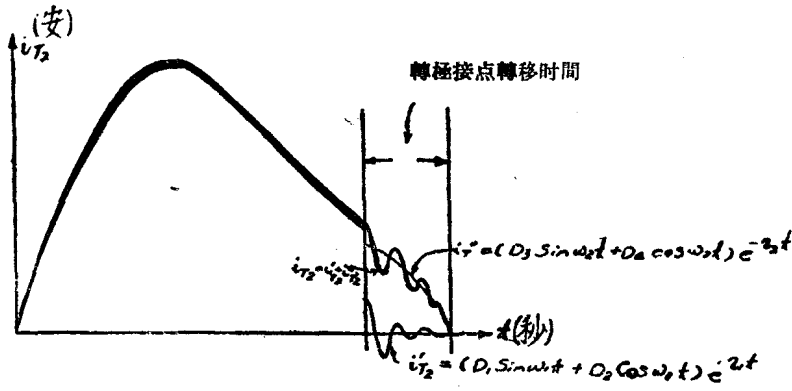
$$\frac{P^2 \Delta}{L_s L} = \left[ P - (-\tau_1 + j\omega_1) \right] \left[ P - (-\tau_1 - j\omega_1) \right] \left[ P - (-\tau_2 + j\omega_2) \right] \left[ P - (-\tau_2 - j\omega_2) \right].$$

对照以前的(6)(7)式。写出  $i_{T_1}$ ,  $i_{T_2}$  的方程式:

$$i_{T1} = (C_1 \sin \omega_1 t + C_2 \cos \omega_1 t) e^{-\tau_1 t} + (C_3 \sin \omega_2 t + C_4 \cos \omega_2 t) e^{-\tau_2 t} \dots \quad (18)$$

$$i_{T2} = (D_1 \sin \omega_1 t + D_2 \cos \omega_1 t) e^{-\tau_1 t} + (D_3 \sin \omega_2 t + D_4 \cos \omega_2 t) e^{-\tau_2 t} \dots \quad (19)$$

由第(18)、(19)式看出，当轉極接点在空間移动时，脈冲虽然被切断了，但是並未消失，只是轉变为另一頻率不同的振盪电流（參看第十四圖）。

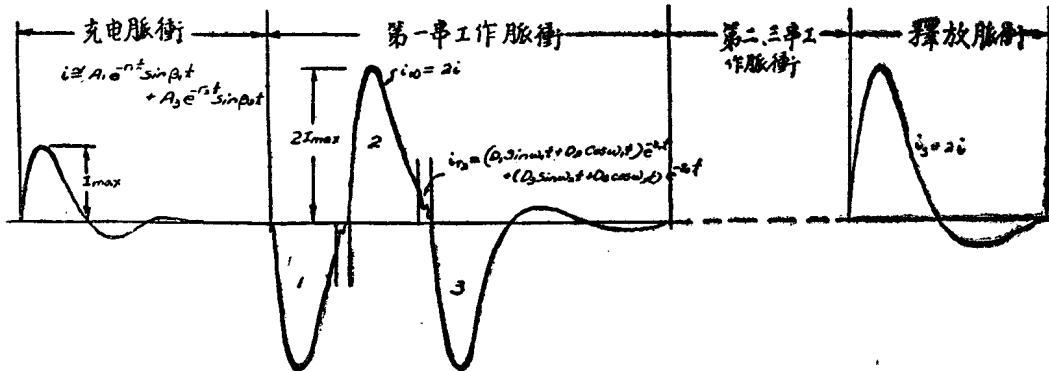


## 第十四圖

其中，角频率为  $\omega_2$  的电流频率较高，( $f_2 = \frac{\omega_2}{2\pi} \approx 74$  至  $75$  赫)直接影响接点间的火花大小。如果火花大，将不仅烧损接点，而且，由火花产生的高频电流，对其他通信设备将造

成干扰，这就需要尽量减少振盪电流的影响（将在下节討論）。

电键  $K_1$ 、 $K_2$  接点断开时，所发出的脉冲 [参看五图中的脉冲 (2)]，只要断开的时间与接合时间相等，脉冲的波形就与第一个工作脉冲 ( $K_1$ 、 $K_2$  闭合时所发出的脉冲) 相同。



### 第十五圖 选叫脈冲

#### IV. 选叫脉冲的稳定

### (一) 影响选叫脉冲稳定的因素

前一章，已分析了选叫脉冲，現在將根据以前的分析，來討論影响选叫脉冲稳定的因素，並將这些影响脉冲稳定的因素，限制在一定的范围内，以保持选叫脉冲一定的稳定性。

根据(8)(9)兩式:

$$i_1 \approx B_1 e^{-r_1 t} \sin \beta_1 t + B_3 e^{-r_2 t} \sin \beta_2 t; \\ i_2 \approx A_1 e^{-r_1 t} \sin \beta_1 t + A_3 e^{-r_2 t} \sin \beta_2 t;$$

式中:  $A_1 \approx B_1$ ,  $A_1 \gg A_3$ ,  $B_3 \gg A_3$ 。

因此，可以認為，角頻率為 $\beta_1$ 的波，絕大部分皆經扼流圈直接送往外線，而不經過濾波裝置  $R_1, C_1$  支路。又角頻率為 $\beta_2$ 的波，可以認為，只經過 $R_1C_1$ 支路，而不送往外線。於是，根據以上所述，送往外線的選叫脈沖，可以認為與  $R_1C_1$  支路無關。

第八圖，可簡化成第十六圖。

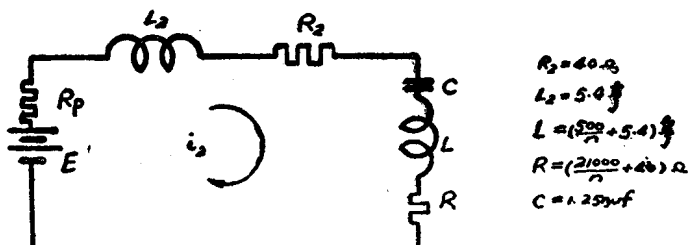
$R_p$ 為電源內阻（第八圖中曾略去不計）。

$L_2$ ,  $R_2$ 扼流圈的电感和电阻。

$L$ ,  $R$ ,  $C$ , 选别器的电感, 电阻, 及串联电容 ( $n$  台分机并联)。

由第十六圖写出下列方程式：

$$\left( L + L_2 \right) \frac{di_2}{dt} + \left( R_p + R + R_2 \right) i_2 + \frac{1}{C} \int i_2 dt = E \dots \dots \dots \quad (20)$$



第十六圖

解得

$$i_2 = \frac{r'_1 + \beta'_1^2}{\beta'_1} \cdot CE e^{-r'_1 t} \sin \beta'_1 t \dots \dots \dots \quad (21)$$

式中

$$\begin{aligned} r'_1 &= \frac{R_p + R + R_2}{2(L + L_2)} = \frac{R_p + 80 + \frac{21000}{n}}{2\left(10.8 + \frac{500}{n}\right)}; \\ \beta'_1 &= \frac{\sqrt{\frac{4(L + L_2)}{C} - (R_p + R + R_2)^2}}{2(L + L_2)} \\ &= \frac{\sqrt{\frac{4 \times 10^6}{1.25n} \left(\frac{500}{n} + 10.8\right) - \left(R_p + 80 + \frac{21000}{n}\right)^2}}{2\left(\frac{500}{n} + 10.8\right)}. \end{aligned}$$

(21) 式为充电脉冲电流的表示式。而工作脉冲电流的表示式为：

$$i_w = 2i_2 = 2 \cdot \frac{r'_1 + \beta'_1^2}{\beta'_1} \cdot CE e^{-r'_1 t} \sin \beta'_1 t \dots \dots \dots \quad (22)$$

与 (9) 式对照，極為接近，(參看十七圖， $r_1$  与  $r'_1$ ， $\beta_1$  与  $\beta'_1$ ，及  $\frac{1}{n} \frac{r'_1 + \beta'_1^2}{\beta'_1} \cdot CE$  与  $\frac{A_1}{n}$  的比較) 因此 (21) 式可以成立。

由 (21) 式，看出影响脈冲幅度  $\frac{r'_1 + \beta'_1^2}{\beta'_1} \cdot CE$ ，減衰系数  $r'_1$ ，及角频率  $\beta'_1$  的因素有：

- (1) 供电电源內阻  $R_p$ ；
- (2) 供电电压  $E$ ；
- (3) 所接分机台数  $n$ ；
- (4) 选别器电感，电阻及所串接的电容器  $L, R, C$ 。

此外，正如前章所述，还有一个極为重要的因素，即电键  $K_1, K_2$  的接断的时间，和轉極繼电器接点的轉移时间。

关于轉極接点的跳动，有时也不可忽視，特別是在接点片过軟时。

**(二) 脈冲的稳定** 所說脈冲的稳定，就是把影响脈冲的許多因素，限制在一定的范围内，从而脈冲也就稳定在一定的范围内。

(1) 选别器，电感电阻及串联电容器的稳定：目前所用的西電式調度分机，与选别器串接的电容器，經過实測，都在( $1.25 + 10\%$ )微法的范围内(50赫时測量)。因此，电容器的容量可視做稳定的。只須注意，不应錯接其他容量的电容器。齐局的个别分机經過工区，大修以后有錯接为2微法的。也有只接1微法的。此外国产的及苏联制的分机鉛箱电容器为1.5或2微法。因此，不应与西電式选别器共用。

选别器线圈的电阻，極為稳定，都在21000欧左右。

但选别器线圈的电感，就不稳定了。受許多因素的影响，如，永久磁鐵磁化力的强弱，接極子的运动等。其中，对电感影响最大的是接極子与磁極間的空气隙。

$$L \propto \frac{1}{d} \quad (d \text{ 为空气隙})。$$